ADRAHENTINA IBERICA NOV. GEN., NOV. SP.

MILIOLIDE NOUVEAU DU MAESTRICHTIEN PYRENEEN

par

Michel BILOTTE *

Résumé

Adrahentina iberica nov. gen., nov. sp., est un Miliolidé trématophoré, lacaziniforme, caractérisé par un test agglutiné au plancher de la loge.

Abstract

Adrahentina iberica nov. gen., nov. sp. is a Lacazina-shaped trematophorate miliolid, characterized by agglutined test at the floor of the chamber.

Dans le tronçon catalan des Pyrénées (fig. 1), le Crétacé supérieur de la Sierra del Cadi et des Sierras de Port del Compte et de Oden (fig. 2) est réduit, au moins pour ses termes marins, au seul étage Maestrichtien (fig. 3).

Au dessus du complexe fluviatile que représentent les "couches d'Adrahent", les premières assises marines livrent dans la quasi totalité des coupes étudiées (Abrahent, Alina 1105, Oden, Sarrat del Plat del Anca) un horizon à Miliolidés. Ces formes de structure complexe ont été récemment confondues (1) avec le genre *Lacazina* MUN.-CHALM.

* Laboratoire de Géologie, Université Paul-Sabatier, 39 allées Jules-Guesde, 31077 Toulouse Cedex (France).

Géobios n° 11, fasc. 1 p. 125 - 131, 4 fig., 1 pl. Lyon, février 1978

Ordre *Foraminiferida* EICHWALD, 1830
Famille *Miliolidae* EHRENBERG, 1839
Sous-famille *Fabulariinae* EHRENBERG, 1839

Genre *Adrahentina* nov. gen.

Adrahentina nov. gen. se rattache à la sous-famille des *Fabulariinae* (3,4) par les caractères suivants : test libre, pluriloculin, loges subdivisées, stade uniloculaire précoce (une loge par niveau de croissance), ouverture probablement trématophorée.

A — Description générique

- Origine du nom : du village d'Adrahent (Province de Lerida, Espagne).
- Test ovoïde ou subsphérique.
- Les stades initiaux n'ont pu être observés avec netteté.
- Les loges sont totalement embrassantes (forme A).
- Chaque nouvelle loge est constituée : d'un plancher, relativement épais et agglutinant un matériel arénacé, d'où s'élèvent de nombreux piliers de même nature ; d'un toit de calcite porcelanée, pelliculaire.
- Ouverture probablement trématophorée (la formation d'une enveloppe complète pour chaque nouvelle loge est un caractère propre aux Miliolidés trématophorés).

B — Comparaison avec les genres sénoniens de la sous-famille des *Fabulariinae*

- *Periloculina* MUN.-CHALM. & SCHLUMB., 1885

Test porcelané ; stades initiaux biloculins chez les formes A et multiloculins chez les formes B ; structure interne formée de côtes longitudinales à la base des loges donnant parfois un pilier ; taille maximale 3 mm ; Santonien.

- *Lacazina* MUN.-CHALM., 1885 ; (fig. 4, a)

Test totalement porcelané (couches a et b, fig. 4 a) ; le stade monoloculin succède à la loge initiale dans les formes A ; les formes B, plus rares, semblent avoir un enroulement multiloculin ; structure interne formée de très nombreux piliers, rayonnants, issus du plancher de la loge ; taille maximale 12 mm ; Santonien.

- *Lacazopsis* DOUV., 1929 (6) ; (fig. 4, b)

Test finement sableux et réticulé (couche externe a sableuse, couche interne b porcelanée, fig. 4 b) ; stades initiaux inconnus ; structures internes à partir de nombreuses poutrelles anastomosées ; taille maximale 22 mm ; Sénonien.

- *Adrahentina* nov. gen. ; (fig. 4 c)

Test agglutiné au plancher de la loge (couche b), porcelané au toit (couche a) ; stades initiaux mal connus, probablement uniloculins après la loge initiale chez les formes A ; structure interne assurée par de nombreux piliers, rayonnants du plancher de la loge vers le toit ; taille maximale : 2 mm ; Maastrichtien.

C — Description spécifique

Adrahentina iberica **nov. gen., nov. sp.**
(pl. 1, fig. 3-9)

Holotype : Exemplaire figuré pl. 1, fig. 6, préparation AD 7 déposée au Laboratoire de Géologie, Univ. Paul-Sabatier, Toulouse.

Paratypes : Exemplaires figurés pl. 1, fig. 3 à 5 et 7 à 9.

Origine du nom : De l'Ibérie.

Localité-type : Le village d'Adrahent à l'extrémité occidentale de la Sierra del Cadi, Feuille Gosol à 1/50 000 de l'I.G.C., n° 254, Province de Lerida, Espagne.

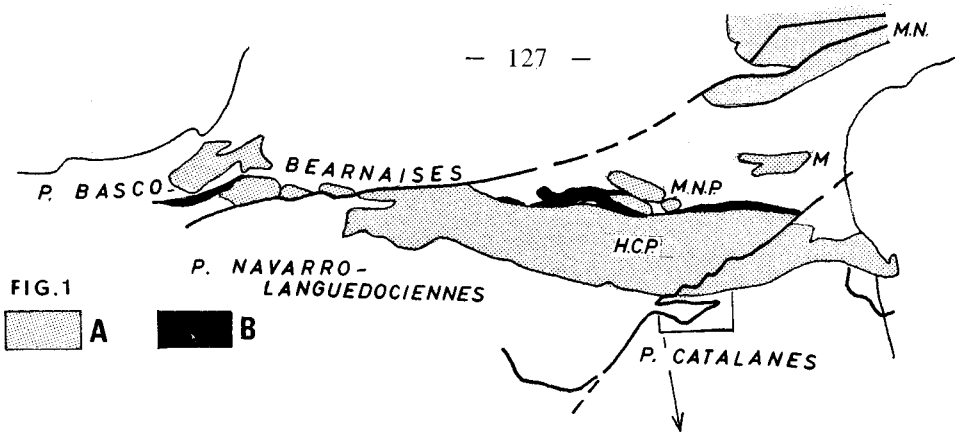

Les 3 tronçons pyrénéens. A – Cristallophyllien et paléozoïque (Haute Chaîne Primaire, Mouthoumet, Montagne Noire). B – Zone interne métamorphique.

The pyrenean main parts. A – Cristallophyllian and paleozoïc (Upper Primary Chain, Mouthoumet, Montagne Noire). B – Metamorphic Inner Zone.

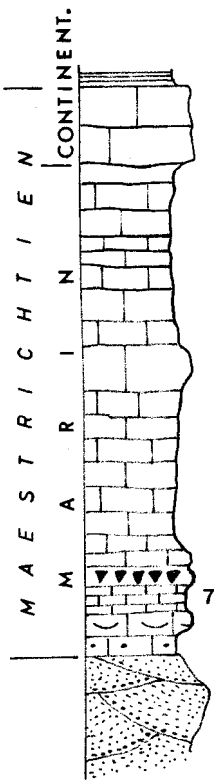

FIG. 3

Position de l'horizon à *Adrahentina iberica* nov. dans la coupe d'Adrahent.

Stratigraphic position of the horizon where *Adrahentina iberica* nov. has been founded in the Adrahent section.

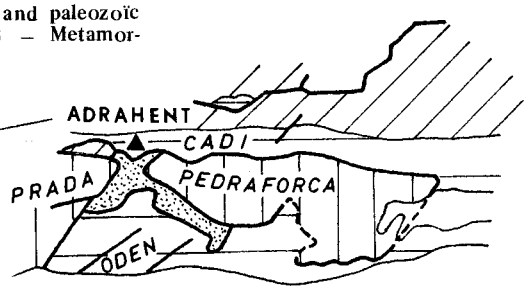

FIG. 2

Situation de la coupe d'Adrahent.

Situation of the Adrahent section.

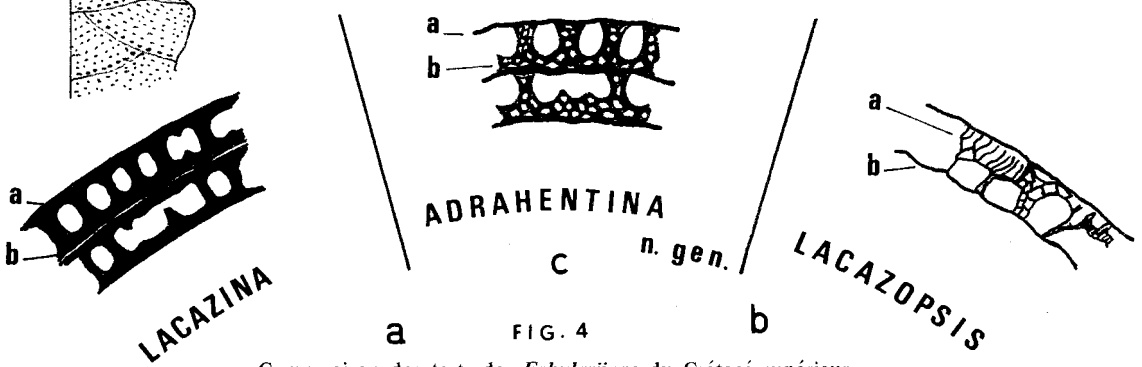

FIG. 4

Comparaison des tests des *Fabulariinae* du Crétacé supérieur (légende dans le texte).

Comparative study of the main testes of the Upper Cretaceous *Fabulariinae* (legend in the text).

Adrahentina iberica n. gen., n. sp., new Foraminifera from Maastrichtian of Pyrenees.

Niveau-type : Base de la formation marine surmontant les "couches d'Adrahent" ; n° 7 de la coupe d'Adrahent (fig. 3).

Matériel étudié : Environ 50 sections minces.

Diagnose : Espèce type du genre *Adrahentina* nov. en raison des caractères suivants :
- Test agglutiné au plancher de la loge et dans les piliers ;
- Stade uniloculin précocement réalisé ;
- Structure interne complexe.

1 – Morphologie :

Test ovoïde à subsphérique, formé de loges de même forme emboitées les unes dans les autres et traversées par de nombreux piliers. Aucune des sections observées n'a permis de mettre en évidence la position d'un pôle oral.

2 – Structure interne :

Sur le matériel étudié, le stade uniloculin est, semble-t-il, atteint dès les premiers tours (formes A probables). Le nombre des loges, sur les individus de plus grande taille, est environ de 10. Ces loges sont traversées par des piliers rayonnants assez régulièrement répartis. Ces piliers, comme le plancher, sont finement arénacés. Leur diamètre médian, inférieur aux diamètres extrêmes leur confère une forme en "diabolo".

3 – Valeurs numériques :

Holotype : section circulaire de 2 mm de diamètre.

Chez les formes à section elliptique, la valeur du grand axe est d'environ 2 mm, pour une valeur du petit axe de 1 à 1,25 mm.

L'orientation de ces sections n'a pas été définie en l'absence d'identification de l'axe de construction du test.

D – Répartition géographique, stratigraphique et paléoécologique

Une association particulière (*Orbitoides media* (d'ARCHIAC), Orbitolinidé indéterminé, *"Lacazina"*) a été observée par P. Souquet (6, p. 337, pl. XXII, fig. 1 dans le Maestrichtien (7) du Montsech. Conformément à l'opinion de cet auteur il s'agit d'une biocoenose ; celle-ci est formée par *Orbitoides media* et par deux formes nouvellement décrites : *Adrardia catalaunica* BILOTTE (8) et *Adrahentina iberica* nov.

Cette biocoenose est complétée, dans le Maestrichtien des Sierras del Cadi, de Port del Compte, de Oden, par : *Pseudorhapydionina laurinensis* (de CASTRO), *Pseudocyclammina massiliensis* MAYNC, *Minouxia* gr. *lobata - conica* GENDROT, *Lepidorbitoides* sp., *Valvulammina picardi* HENSON, *Nummofallotia cretacea* (SCHLUMB.) etc . . ., ainsi que de nombreux Rudistes.

Adrahentina iberica nov. n'est actuellement connue que dans le Maestrichtien sud-pyrénéen.

Références bibliographiques

(1) MOERI E. – *Eclogae Geol. Helv.*, 70, 1, Genève, 1977, p. 193-236.
(2) LOEBLICH A.R.Jr. & TAPPAN H. – *Treatise on Invertebrate Paleontology*, C, Edit. Moore, New-York, 2, 1964.
(3) ANGLADA R. & RANDRIANASOLO A. – *Annales Univ. Provence*, XLVI, Marseille, 1971, p. 161-176.
(4) MUNIER-CHALMAS & SCHLUMBERGER C. – *Bull. Soc. Géol. France*, 3, 13, Paris, 1885, p. 173-323.
(5) DOUVILLE H. – *Bull. Soc. Géol. France*, 4, 29, Paris, 1929, p. 245-250.
(6) SOUQUET P. – *Thèse Doct. Sc. Nat.*, Privat, Toulouse, 1967, 529 p.
(7) BILOTTE M., SOUQUET P. & WALLEZ-FONDECAVE M.J. – *C. R. Acad. Sc., Paris*, 280.

PLANCHE

PLANCHE 1

Fig. 1 – ***Periloculina zitteli*** MUN.-CHALM. Santonien supérieur de Gisclareny (G 9). (x 24).

Fig. 2 – ***Lacazina compressa*** MUN.-CHALM. Santonien supérieur de Gisclareny (G 10). (x 24). ***Adrahentina iberica*** n. gen. n. sp.

Fig. 3 – Section transversale montrant le plancher épais et agglutiné de la loge.
a – Et son toit de calcite porcelanée pelliculaire.
b – (Aliña 1105 D). (x 32).

Fig. 4 – Section longitudinale (Aliña 1105 D). (x 32).

Fig. 5 – Section axiale montrant la mégalosphère (Aliña, anticlinal du Rec de la Peña). (x 48).

Fig. 6 – Holotype. Section transversale (Adrahent 7, niveau-type). (x 24).

Fig. 7 – Section longitudinale (Gabarros). (x 40).

Fig. 8 – Section longitudinale tangentielle (Aliña 1105 D). (x 32).

Fig. 9 – Section longitudinale (Adrahent 7, niveau-type). (x 32).

Fig. 1 – ***Periloculina zitteli*** MUN.-CHALM. Upper Santonian of Gisclareny (G 9). (x 24).

Fig. 2 – ***Lacazina compressa*** MUN.-CHALM. Upper Santonian of Gisclareny (G 10). (x 24). ***Adrahentina iberica*** n. gen., n. sp.

Fig. 3 – Transversal section showing the thick and agglutined floor of the chamber.
a – And its porcelaneous pellicular calcite roof.
b – (Aliña 1105 D). (x 32).

Fig. 4 – Longitudinal section (Aliña 1105 D). (x 32).

Fig. 5 – Axial section showing the megalospher (Aliña, anticlinal of Rec de la Peña). (x 48).

Fig. 6 – Holotype. Tranversal section (Adrahent 7, type-level). (x 24).

Fig. 7 – Longitudinal section (Gabarros). (x 40).

Fig. 8 – Longitudinal tangential section (Aliña 1105 D). (x 32).

Fig. 9 – Longitudinal section (Adrahent 7, type-level). (x 32).

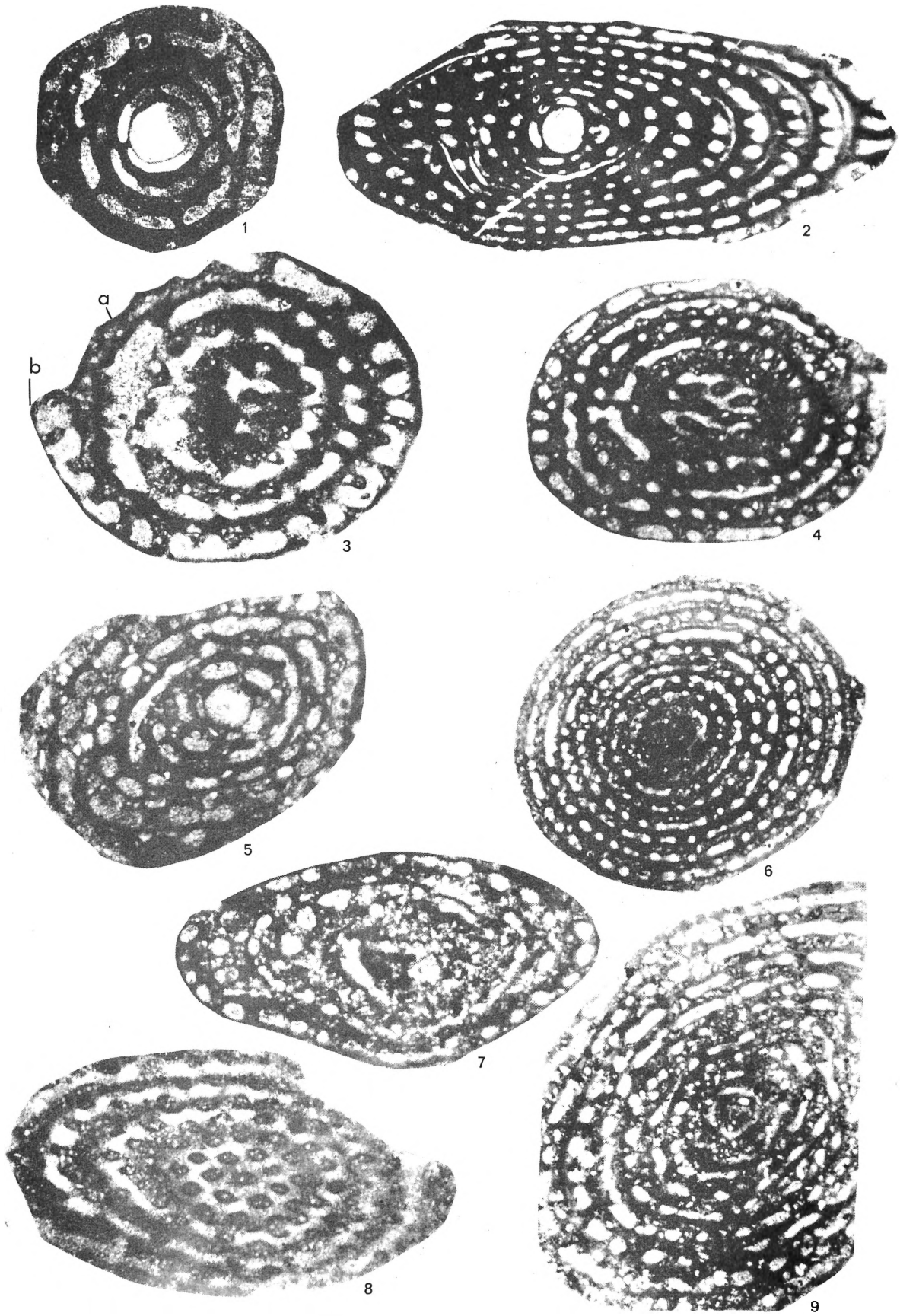
1
2
a
b
3
4
5
6
7
8
9